

## V-23 桁の周面抵抗に関する考察

九州産業大学 正員 石堂 機

" " 口野向 明義

" " 岸 直三郎

はじめに

クライの支持機構に関する理論的な取扱はSeed & Reese<sup>(1)</sup>によって示された。この解はいくつかの境界条件の下で得られるが、摩擦力に関する明確な式がなく、その取扱上、線形滑り式で示される場合が多い。これは、摩擦分布曲線はセン断変形との関係が十分に解明されていないからであろう。摩擦力は基本的には  $f = Q \cdot K \cdot u$  …(1) で示される。

これはアーティングの影響が無くすれば深さの一次函数で示される。K値は一般的には静止土圧係数K<sub>0</sub>を採用しているが、これは土の内圧と相応して土圧が発揮されなければならないからであると考えられる。その関係は現在に至るまで不明であるが、ここではクライの設置方法を基にした観察から、摩擦力の検討を行なう。

### 実験と考察

実験に供したクライはアクリル円筒、直徑6cm、長さ70cmのクライの内側に斜めにゲージを塗りこむ。 $E_p=30,000 \sim 35,000 \text{ kgf/cm}^2$  図-①(2)はクライ頭にみける荷重～変位曲線を示している。その曲線はクライの設置方法によって、性状が異なっていきる。押込みクライは所定の密度に造成された地盤に静的な荷重を介して所定の深さまで貫入したものである。

押込みクライは貫入に伴い先端地盤および周辺が履歴応力の影響を受けますが、あらかじめ静置された埋込

クライではその影響は極めて小さく無視できる。したがて、埋込みクライではその伝達荷重がクライ先端の圧縮、つまりは局部的なセン断に最も近い押込みクライに較べ、一定荷重を得るに大きな変位量が必要であると考えられる。一方摩擦力は一定値を示した後、さらに変位が増大すると減少していくが、一定になると値が示されてくる。造成地盤の密度に多少の違いはあるが、この値で約4倍一定時で6倍程度まで大きくなるが得られている。クライとすれば、周面摩擦力は式となる  $Q_f = \int \sigma d\theta d\phi$  …(2) 从値は試験の結果  $M=0.36 \sim 0.47 \quad \therefore K_M = 2Q_f / (D^2)$

の範囲である。K<sub>0</sub> (2)式から2.2時のK値を試算みると  $K_0=3.46, K_0=0.92, \text{一定時 } K_{02}=2.66, K_{02}=0.46$  となり  $K_0$  は  $\phi=32^\circ$  のランキン受動土圧に近い。またこの様にK値は通常考えられている静止土圧係数と異なるものである。しかし埋込みクライの結果  $K=0.4 \sim 0.9$  とこれはMayenhoftの提案した  $K_0$  の値に近似している。これらの事からK値が静止土圧係数より大きく求まるひとつの原因として

地盤造成時の締固めに伴う地盤応力分布の不均一性、クライ貫入による一時的な締固め効果の影響

図-① 荷重・変位曲線(埋込みクライ)

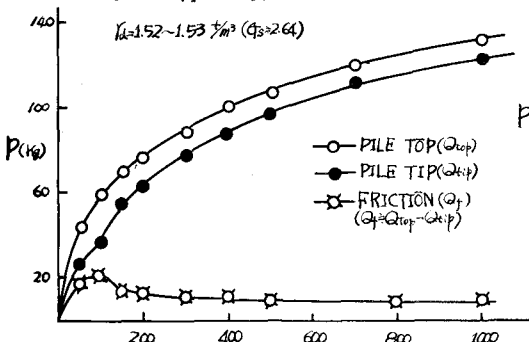
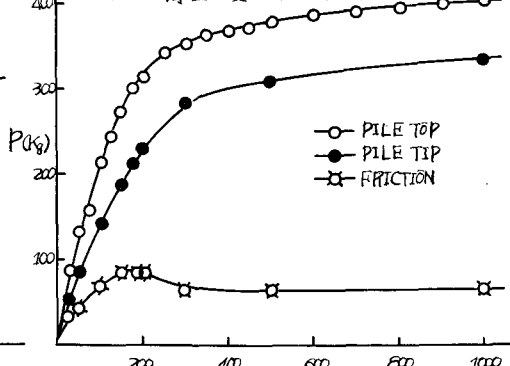


図-② 荷重・変位曲線(押込みクライ)



などが考えられる。この事はクイ周面に働く土圧が少ないからず履歴応力の影響をうける事を意味している。

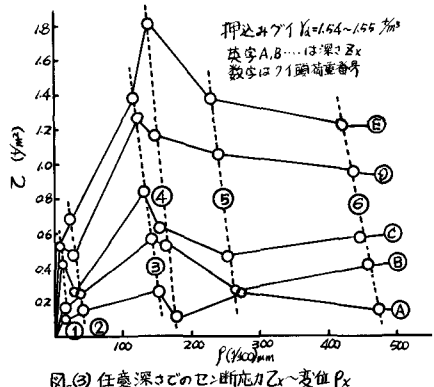
埋込みクイの状態では貫入に伴う周辺土への履歴応力の影響はないが、造成時の締固めに伴う応力分布の不均一性は残る。この時、粒子は互にアーチ状的な構造をとると仮定する。クイに変位が生じると、クイ周からせん断力の形で摩擦力は周辺へ伝達され、粒子の再配列が起り応力の不均一性は消滅すると考えられる。さらに相対的な変位が増大すると摩擦力も増加する。その結果クイ周で剛体的摩擦力が起る。また下向きの摩擦力の再分配によって周辺粒子がせん断されると考え、その両者を加味したものがクイの摩擦力であると考える。Berezantzev<sup>(7)</sup>は周辺範囲を一定幅  $b$  と仮定し、その範囲でアーチをため鉛直圧が減少するとしてある。この様にクイ周での摩擦力を考えると、その全長について主に時の最大土圧(1)(2)でのピーク値を示すものと考えられる。このことは履歴応力の影響が大きいもの程、密度は高められ、周辺でのクライタシ的效果も大きく、摩擦力も増大すると推測される。図(3)は  $\sigma_z$  を  $\sigma_z = \sigma_z(\beta-N_d)/\alpha H_x$  ……(3) の剛体で示した。 $\sigma_z$  曲線が  $\sigma_z = \sigma_z - F_y/A_{ep}$  を示す後、一定の値に漸減する性状がわかる。図(4)から摩擦応力  $\tau_c$  は鉛直圧が大きいもの程大きく示され、その増加は直線的に三角分布を示している。(1)式から  $K = \tau_c / \sigma_z M$  ……(4)となり、  $K$  の傾向は図(4)

項が常数であることから、変位に対する  $\tau_c$  の傾向と異なる。通常のせん断試験においても、拘束圧の大きいもの程、 $\Delta V/\%$  の収縮は大きい事が知られている。可逆的クイにおいても同様に変位が生ずれば収縮をきたすものと考えられる。その結果、拘束圧の大きいもの程その現象は大きく、土圧も増大するものと考えられる。しかしクイ先端附近では、先端支持の影響をうけて摩擦力が異なる事が知られている。

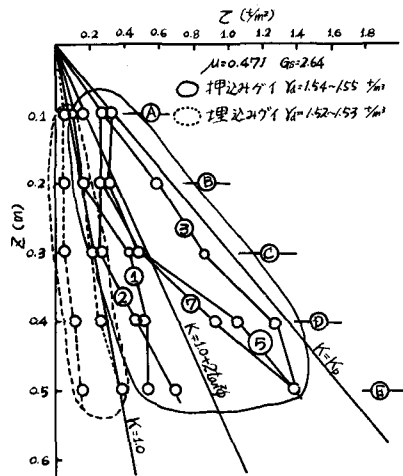
### あとがき

クイの設置方法を基にした場合、履歴応力の影響によって摩擦力が異なる事を示した。図(4)からの傾向では変位によって摩擦応力はそのオーダーが変化するが、それが一定を示す  $K$  値は平均的には筆者等の実験式  $K = 1 + 2 \tan^2 \phi$  で近似している。今後は土圧をせん断抵抗を導入した条件で考える必要があり、せん断試験からの卓を検討するつもりである。参考文献 1). 例えは基礎工学ハンドブック 韶倉書店 p437~439

- 2). Meyerhof Penetration Test as Bearing Capacity of Cohesionless Soils ASCE paper 63 (3) 三笠他「砂土の構造とせん断強度」第25回年次論文集 88和45頁
- 4). 砂上他 砂上に設置された打込み柱と掘削柱の支持力 第6回土質工学研究会論文集 (5) Berezantzev他 The Bearing Capacity of Sands under Deep Foundations 土質工学研究会論文集 第6回年次論文集 1988年 1月号
- 6). 藤田「標準貫入試験」土質調査試験の解説と適用例 土質工学会 第1回土質工学研究会論文集



図(3) 住棲深さとのせん断応力  $\sigma_z$  ~ 変位  $P_x$



図(4) クイ周せん断応力  $\tau_c$  ~ 深さ  $Z$